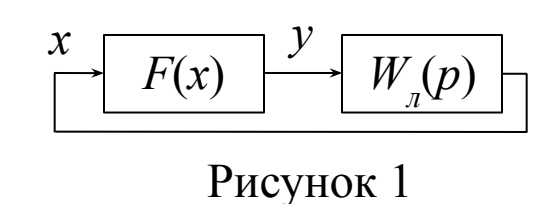
ЧАСТОТНЫЙ МЕТОД ИССЛЕДОВАНИЯ АВТОКОЛЕБАНИЙ

Частотный метод (метод Гольдфарба) позволяет определить амплитуду и частоту возможных автоколебаний на основании частотных характеристик разомкнутой системы.

Пусть САР имеет одну нелинейность F(x) и линейную часть, выполняющую роль фильтра (рисунок 1). Решение ищется в форме $x = a \cdot \sin \omega t$.

В искомом решении неизвестны амплитуда \boldsymbol{a} и частота $\boldsymbol{\omega}$.

Гармонически линеаризованную систему можно рассматривать как линейную с постоянными коэффициентами.



Передаточная функция разомкнутой системы

$$W_{pc}(a,p) = W_{\pi}(p) \cdot W_{H}(a,p) = \frac{R(p)}{Q(p)} \cdot \left[q(a) + \frac{q'(a)}{\omega} p \right]. \tag{1}$$

где $W_{_{\!\scriptscriptstyle D}}(p) = \frac{R(p)}{Q(p)}$ – передаточная функция линейной части;

 $W_{_H}(a,p) = q(a) + \frac{q'(a)}{\omega} p$ — передаточная функция гармонически линеаризованной нелинейности.

АФЧХ разомкнутой системы

$$W_{pc}(j\omega) = W_{\pi}(j\omega) \cdot W_{\pi}(a) = \frac{R(j\omega)}{Q(j\omega)} \cdot [q(a) + q'(a)]. \tag{2}$$

Как известно, в линейной системе незатухающие колебания имеют место, когда система находится на границе устойчивости. По критерию Найквиста это соответствует прохождению $W_{pc}(j\omega)$ через точку -1. Следовательно, периодическое решение будет иметь место при выполнении равенства $W_{\pi}(j\omega) \cdot W_{\pi}(a) = -1$, или

$$W_{n}(j\omega) = -\frac{1}{W_{n}(a)}. (3)$$

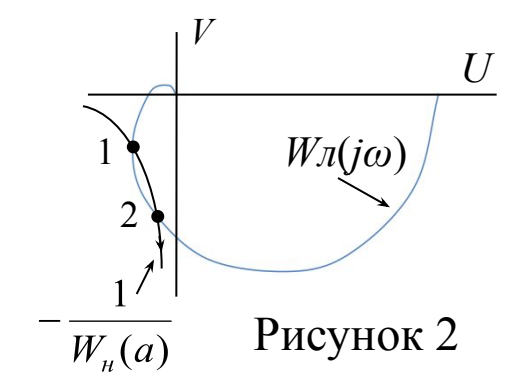
где $W_{\mu}(a) = q(a) + j \cdot q'(a)$.

Периодическое решение определяется точкой пересечения АФЧХ линейной части

$$W$$
л $(j\omega)$ и характеристики $-\frac{1}{W_{_H}(a)}$. По кривой $-\frac{1}{W_{_H}(a)}$

определяется амплитуда a, а по АФЧХ $Wn(j\omega)$ частота ω автоколебаний.

На комплексной плоскости (рисунок 2) строится АФЧХ $Wn(j\omega)$ и кривая $-\frac{1}{W_{\mu}(a)}$.



Если имеется несколько точек пересечений (1 и 2 на рисунке), то это говорит о том, что имеется несколько предельных циклов.

это точка 2.

В этой точке определяется частота ω (по кривой $Wn(j\omega)$ и амплитуда (по кривой $-\frac{1}{W_u(a)}$) автоколебаний.

Если пересечений кривых нет, периодическое решение для данной системы отсутствует.

Определить периодические решения можно и по логарифмическим частотным характеристикам. Для этого можно воспользоваться формулами, полученными из (3):

$$L_{\pi}(\omega) = -20 \lg \sqrt{q^{2}(a) + [q'(a)]^{2}};$$

$$\varphi_{\pi}(\omega) = -180^{\circ} - arctg \frac{q'(a)}{q(a)},$$

где $L_{_{\pi}}(\omega)$ — ЛАХ линейной части; $\varphi_{_{\pi}}(\omega)$ — ЛФХ линейной части.

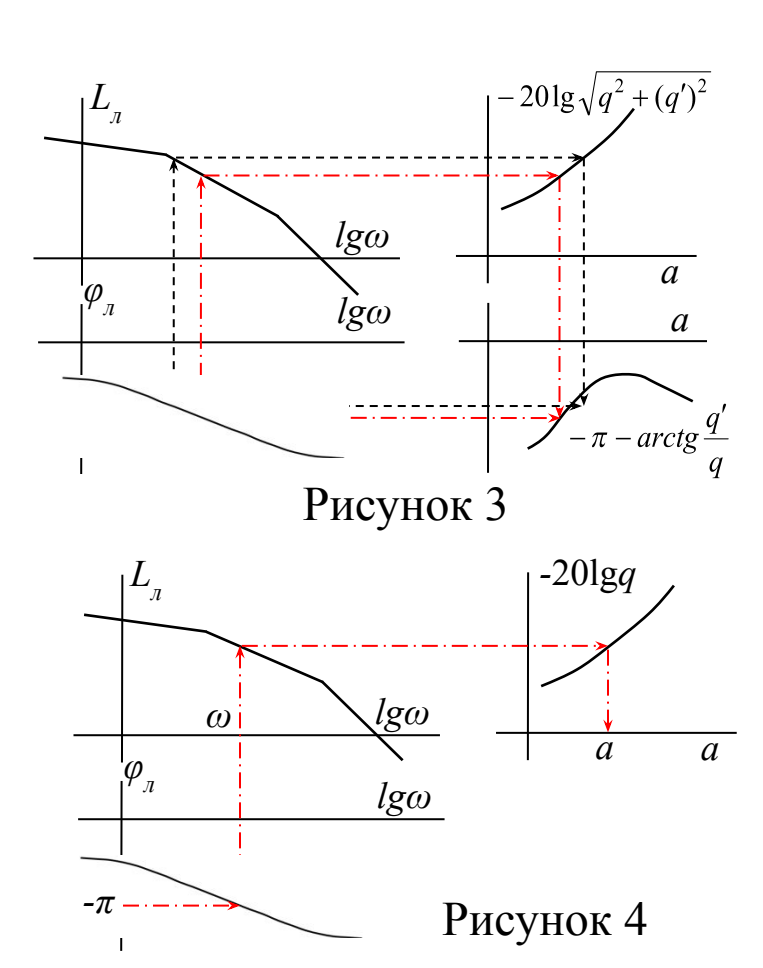
Необходимо построить характеристики левой и правой частей уравнений (фисущом водбора найти решение, при котором выполняются оба равенства (4). На рисунке 3 это показано штрихпунктирным четырёхугольником.

Частота периодического решения определяется по оси $\lg \omega$, амплитуда – по оси a.

При однозначной нелинейности, то есть при q' $(\omega) = 0$ решение упрощается, так как

$$L_{_{II}}(\omega) = -20 \lg q(a);$$
 $\varphi_{_{II}}(\omega) = -180^{\circ}.$

Решение показано на рисунке 4. Устойчивое решение, где $-20\lg q(a)$ с увеличением a растёт.



(4)

<u>Пример</u>. Определить амплитуду и частоту автоколебаний в нелинейной системе, структурная схема которой приведена на рисунке 4.

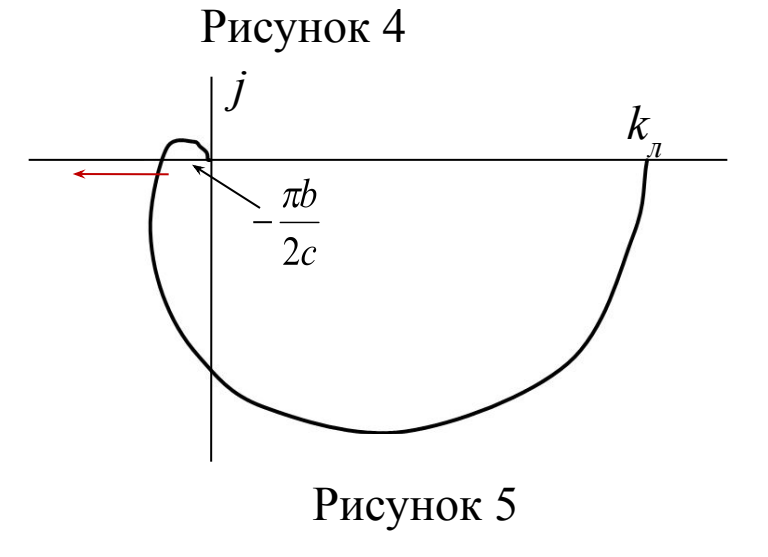
АФЧХ линейной части может быть построена по выражениям для усиления амплитуды и фазового сдвига (рисунок 5):

$$\begin{array}{c|c}
\hline
 & k_n & x \\
\hline
 & (T_1p+1)(T_2p+1)(T_3p+1) \\
\hline
\end{array}
\begin{array}{c|c}
 & x \\
\hline
 & -b \\
\hline
\end{array}
\begin{array}{c|c}
 & y \\
\hline
 & -c \\
\hline
\end{array}$$

Гармонически линеаризованная передаточная функция нелинейности W(a,p) = q(a).

По выражению для коэффициента гармонической линеаризации для данной нелинейности

$$q = \frac{4c}{\pi a} \sqrt{1 - \frac{b^2}{a^2}}$$
 строится характеристика $-\frac{1}{W_{_{\!\scriptscriptstyle H}}(a)}$.



Так как коэффициент q'=0, эта характеристика совпадает с вещественной осью. С увеличением ${\pmb a}$ она стремится от $-\infty$ к $-\frac{\pi b}{2c}$, затем снова стремится к $-\infty$. В точке пересечения этой характеристики с АФЧХ определяются частота ${\pmb \omega}$ периодического решения (по АФЧХ) и амплитуда ${\pmb a}$ (по ветви характеристики $-\frac{1}{q(a)}$, направленной от $-\frac{\pi b}{2c}$ к $-\infty$).

В логарифмической форме частотных характеристик (рисунок 6):

- 1) строятся ЛАХ и ЛФХ линейной части;
- 2) строится характеристика -20 $\lg q$ нелинейности;
- 3) при фазовом сдвиге, равном $-\pi$, определяются амплитуды возможных периодических решений.

По оси ω определяется частота периодических решений.

По оси a определяется амплитуда периодических решений. Амплитуда автоколебаний определяется по участку, где значение **-20 lg**q с ростом a возрастает.

